

РОСТ УСТАЛОСТНЫХ ТРЕЩИН В ТОНКИХ ПЛАСТИНАХ КОНЕЧНЫХ РАЗМЕРОВ С КОНЦЕНТРАТОРАМИ НАПРЯЖЕНИЙ ПРИ ОДНООСНОМ АСИММЕТРИЧНОМ РАСТЯЖЕНИИ-СЖАТИИ

Рассматривается задача о росте усталостной трещины, выходящей из концентратора напряжений, в тонкой пластине конечных размеров при одноосном многоцикловом асимметричном нагружении. В качестве концентратора напряжений рассматривается эллиптическое отверстие. Численно-аналитическое решение задачи получено на основе феноменологической двустадийной модели роста усталостной трещины и критерия эквивалентных напряжений, сводящего асимметричный цикл нагружения к эквивалентному по времени разрушения симметричному циклу. Результаты расчета по модели для алюминиевых пластин удовлетворительно согласуются с экспериментальными данными.

Ключевые слова: усталостная трещина, асимметричный цикл нагружения, пластины конечных размеров, эллиптическое отверстие, одноосное растяжение-сжатие, поврежденность, пластическая зона.

Введение

Исследования в области прогнозирования долговечности конструкций, подверженных сложному комплексу статических и циклических нагрузок, связаны с определением кинетики усталостного разрушения. Многие элементы конструкций в турбомашиностроении, судостроении, авиации, например, обшивка несущих плоскостей, обшивка фюзеляжа, элементы горячей части турбодвигателей представляют собой тонкие пластины с различного вида отверстиями, выемками, надрезами, которые являются «инициаторами» усталостного разрушения. Таким образом решение задач усталостного разрушения пластин с концентраторами напряжений с учетом асимметрии цикла нагружения представляет практический и теоретический интерес.

Решение проблемы экспериментальным путем связано с проведением сложных, дорогостоящих натурных испытаний и получения на их основе эмпирических зависимостей.

Настоящая работа является развитием теоретического подхода [1,2], основанного на совместном рассмотрении концепций механики разрушения и механики непрерывной поврежденности. На основе феноменологической двустадийной модели роста усталостной трещины получено численно-аналитическое решение задачи о распространении усталостной трещины в пластинах конечных размеров с центральным эллиптическим отверстием и как частным слу-

чаем - круговым отверстием, при асимметричном одноосном растяжении-сжатии.

1. Постановка задачи

Рассматривается тонкая пластина (рис.1)

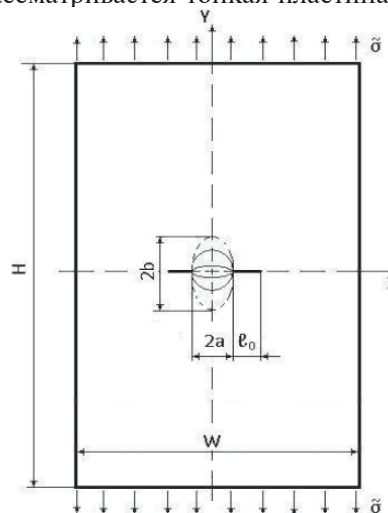


Рис. 1. Схема нагружения пластины

длиной H , шириной W , ослабленная центральным эллиптическим отверстием с полуосями a , b и двумя симметрично расположенными трещинами начальной длины l_0 , выходящими из контура отверстия. Берега трещины и контур отверстия свободны от нагрузки. Пластина находится под действием одноосной циклической нагрузки, вызывающей номинальные циклические напряжения $\tilde{\sigma}$

$$\tilde{\sigma} = \sigma_m + \sigma_a g(n), \quad (1)$$

где σ_m и σ_a – среднее и амплитудное напряжения цикла;

$g(\cdot)$ – известная периодическая функция числа циклов нагружения n ($n = ft$);

t – физическое время;

f – частота нагружения.

Задача заключается в определении функциональной зависимости между переменными, характеризующими кинетику роста трещины, параметрами нагружения, набором коэффициентов и материальных констант C_i ($i = 1, k$) вида

$$\ell = F_2(\sigma_a, \sigma_m, n, a, b, h, W, C_i), \quad (2)$$

при одноосном асимметричном циклическом растяжении-сжатии.

Усталостную трещину рассматриваем как узкую щель, у вершины которой под действием циклического нагружения формируется тонкая концевая зона, где сосредоточены все неупругие эффекты, напряжения в которой ограничены пределом текучести материала $[-\sigma_Y, \sigma_Y]$. При этом весь основной массив пластины деформируется линейно-упруго.

Решение задачи состоит в совместном решении краевой задачи теории упругости с подвижной границей при плоском напряженном состоянии и эволюционного уравнения накопления усталостных повреждений.

Напряженное состояние пластины в произвольный момент времени n , согласно принципу подобия, определяется из тех же соотношений, что и при статическом нагружении. Таким образом, система разрешающих уравнений включает:

1. Уравнения равновесия

$$\begin{aligned} \frac{\partial \sigma_{xx}(n)}{\partial x} + \frac{\partial \tau_{xy}(n)}{\partial y} &= 0 \\ \frac{\partial \tau_{xy}(n)}{\partial x} + \frac{\partial \sigma_{yy}(n)}{\partial y} &= 0 \end{aligned} \quad (3)$$

2. Уравнения совместности

$$\left(\frac{\partial^2}{\partial x^2} + \frac{\partial^2}{\partial y^2} \right) (\sigma_x(n) + \sigma_y(n)) = 0 \quad (4)$$

3. Граничные условия для пластины, представленной на (рис. 1), имеют вид

$$\begin{aligned} \sigma_{xx}(n) \cdot \cos(\nu, x) &= 0, \quad x = \pm \frac{W}{2}, \quad -\frac{H}{2} \leq y \leq \frac{H}{2} \\ \sigma_{yy}(n) \cdot \cos(\nu, y) &= \\ \begin{cases} \pm \tilde{\sigma}, & y = \pm \frac{H}{2}; \quad -\frac{W}{2} \leq x \leq \frac{W}{2} \\ 0 & y = 0 \end{cases} \quad \begin{cases} -d_0 \leq x \leq d_0 & 0 \leq n \leq n_* \\ -d(n) \leq x \leq d(n) & n > n_* \end{cases} \end{aligned} \quad (5)$$

где ν – нормаль к боковой поверхности, $d_0 = a + \ell_0$, $d(n) = a + \ell(n)$.

4. Критерий эквивалентных напряжений сводит асимметричное циклическое нагружение к эквивалентному по числу циклов разрушения $n = n_R$ симметричному циклическому нагружению [2]

$$\tilde{\sigma}_a = \sigma_a \left[1 - \frac{1}{2} \left(\frac{\pi \sigma_m}{2 \sigma_B} \right)^2 \right]^{-\eta}, \quad (6)$$

где $\tilde{\sigma}_a$ – амплитудное напряжение эквивалентного симметричного цикла;

η – коэффициент чувствительности асимметрии цикла.

5. Соотношение для определения длины циклической пластической зоны по модифицированной модели Дагдейла при циклическом нагружении [3]

$$\lambda(d(n)) = \frac{\pi}{8} \left(\frac{\Delta K_{eff} \left(\frac{H}{W}, \frac{b}{a}, \frac{d(n)}{W} \right)}{2 \sigma_Y} \right)^2, \quad (7)$$

где $\Delta K_{eff} = K_{max}$ – эффективный коэффициент интенсивности напряжений при симметричном цикле нагружения.

6. Эволюционное уравнение накопления усталостных повреждений, описывающее процесс распространения усталостной трещины

$$\frac{\partial \omega(x, n)}{\partial n} = D \left[\frac{\Delta \sigma_{eqv}(x, n)}{1 - \omega} \right]^q, \quad (8)$$

с начальными условиями

$$\begin{cases} \omega(x, 0) = 0 \\ \omega(x, n_R) = 1 \end{cases}, \quad (9)$$

где $\omega(x, n)$ – скалярная функция поврежденности, определяющая уровень повреждений в произвольной точке x в момент времени n ;

$\Delta \sigma_{eqv}(x, n)$ – размах эквивалентного напряжения;

D и q – коэффициенты, определяющие сопротивление материала усталостному разрушению.

2. Распределение напряжений по фронту трещины

Напряженное состояние в окрестности вершины трещины вдоль оси Ox определяется из решения системы уравнений (3)-(5). В качестве эквивалентного напряжения, согласно критерию максимальных напряжений, рассматриваем напряжение $\sigma_{yy}(x, n)$. В общем виде распределение напряжений вдоль фронта рас-

пространства трещины по оси Ox ($y = 0$) при $n > n_*$ можно записать следующим образом

$$\Delta\sigma_{yy}(x, n) = \begin{cases} 0 & |x| < d(n) \\ [-\sigma_Y, \sigma_Y] & |x| = d(n) + \lambda(d), \\ \frac{\tilde{\sigma}_a}{\sqrt{2}} \sqrt{\frac{d(n)}{x - d(n)}} \cdot f\left(\frac{H}{W}, \frac{b}{a}, \frac{d(n)}{W}\right) & |x| > d(n) + \lambda(d) \end{cases} \quad (10)$$

а в течение инкубационного периода $0 \leq n \leq n_*$ имеет вид (10) при $a(n) = a_0$. Здесь $\lambda(d_0)$ и $\lambda(d(n))$ – начальная и текущая длина тонкой циклической пластической зоны, которая формируется в вершине усталостной трещины за инкубационный период и на стадии роста трещины соответственно;

$f\left(\frac{H}{W}, \frac{b}{a}, \frac{d(n)}{W}\right)$ – корректирующая функция,

учитывающая влияние граничных условий и построенная аппроксимацией множества численных решений для трещин дискретной длины $\ell_0 \leq \ell \leq \ell(n)$.

3. Определяющие уравнения модели роста усталостной трещины

Интегрируя уравнение (8) с учетом начальных условий (9), распределения напряжений у вершины трещины (10) и двухстадийности процесса усталостного разрушения получаем уравнение движения фронта разрушения в точке с координатой $x_* = d(n) + \lambda(d(n))$ в момент времени n

$$\begin{aligned} & 1 - (1 + q)D \left(\frac{\tilde{\sigma}_a}{\sqrt{2}}\right)^q \times \\ & \times \int_0^{n_*} \left[\frac{d_0}{d(n) + \lambda(d(n)) - d_0} \right]^{\frac{q}{2}} \cdot f\left(\frac{H}{W}, \frac{a}{b}, \frac{d_0}{W}\right) d\tau = \\ & = (1 + q)D \left(\frac{\tilde{\sigma}_a}{\sqrt{2}}\right)^q \times \\ & \times \int_{n_*}^n \left[\frac{d(\tau)}{d(n) + \lambda(d(n)) - d(\tau)} \right]^{\frac{q}{2}} \cdot f\left(\frac{H}{W}, \frac{a}{b}, \frac{d(\tau)}{W}\right) d\tau. \end{aligned} \quad (11)$$

Длительность инкубационного периода определим из (11) при условии $n = n_*$ в точке с координатой $x_* = d(0) + \lambda(d(0))$

Решая уравнение (11) с использованием преобразования Лапласа, получаем систему уравнений (12)

$$\begin{cases} \frac{d\ell}{dn} = \left(1 + \frac{1}{q}\right) D \frac{1}{[2\lambda(d(n))]^{\frac{q}{2}-1}} \cdot \left(\tilde{\sigma}_a \sqrt{d} \cdot f\left(\frac{H}{W}, \frac{b}{a}, \frac{d(n)}{W}\right)\right)^q \\ n_* = \frac{1}{(1+q)D} \left[\frac{1}{\tilde{\sigma}_a}\right]^q \left[\frac{2\lambda(d_0)}{d_0}\right]^{\frac{q}{2}} \cdot f\left(\frac{H}{W}, \frac{b}{a}, \frac{d_0}{W}\right)^{-q}, \end{cases} \quad (12)$$

где первое уравнение описывает стадию роста трещины, а второе – длительность инкубационного периода.

Длина циклической пластической зоны с учетом конечности размеров пластины и асимметрией цикла нагружения определяется из соотношения

$$\lambda(d(n)) = \frac{1}{8} \left(\frac{\pi \tilde{\sigma}_a \cdot f\left(\frac{H}{W}, \frac{b}{a}, \frac{d(n)}{W}\right)}{2\sigma_Y} \right)^2 d(n) \quad (13)$$

4. Определение коэффициентов уравнений и материальных констант

Для решения задачи по соотношениям (12) необходимо определить σ_Y , σ_B , а также коэффициенты D , q и η .

Величины σ_Y , σ_B определяются по результатам стандартных испытаний гладких цилиндрических образцов на кратковременную прочность, непосредственно по диаграмме растяжения « $\sigma - \varepsilon$ ».

Коэффициенты D , q определяются из базовых экспериментов по усталостному разрушению гладких цилиндрических образцов в условиях симметричного растяжения-сжатия аппроксимацией экспериментальных данных уравнением

$$n_R = [(1+q)D(\sigma_a)^q]^{-1}, \quad (14)$$

где n_R – число циклов до разрушения гладкого цилиндрического образца.

Коэффициент η – характеризует чувствительность материала к асимметрии цикла нагружения и определяется из экспериментов на усталость гладких цилиндрических образцов в условиях растяжения-сжатия при различных степенях асимметрии цикла путем минимизации функционала

$$\begin{aligned} & \Phi\left(\psi\left(\frac{\sigma_m}{\sigma_B}\right), \eta\right) = \quad , \quad i = 1, k \quad (15) \\ & = \sum_{i=1}^k \left[\psi\left(\frac{\sigma_{m_i}}{\sigma_B}\right) - \left(\frac{\sigma_{a_i}}{\sigma_n}\right) \right]^2 = \min \end{aligned}$$

где σ_{a_i} и σ_{m_i} – амплитудное и среднее напряжения i -того асимметричного цикла;

σ_n – предел усталости симметричного цикла нагружения соответствующие одинаковой долговечности n .

Представляя

$$\psi\left(\frac{\sigma_{m_i}}{\sigma_B}\right) = \left[\cos\left(\frac{\pi}{2} \frac{\sigma_{m_i}}{\sigma_B}\right)\right]^\eta, \quad (16)$$

получим выражение для определения η в виде (17)

$$\eta = (lq\sigma_{a_i} - lq\sigma_n) \left\{ lq \left[1 - \frac{1}{2} \left(\frac{\pi}{2} \frac{\sigma_{m_i}}{\sigma_B} \right) \right] \right\} \quad (17)$$

Полученные из экспериментальных данных [4] значения коэффициентов для алюминиевых сплавов 2024-Т3 и 7075-Т6 сведены в табл.1.

Таблица 1 – Механические свойства и материальные константы алюминиевых сплавов 2024-Т3 и 7075-Т6

Сплав	σ_Y , МПа	σ_B , МПа	D , (МПа ^q · цикл) ⁻¹	q	η
2024-Т3	353	489	$7,45 \cdot 10^{-26}$	8,28	2.37
7075-Т6	523	571	$3,33 \cdot 10^{-29}$	9,23	3.57

5. Решение задач

Определим зависимость длины трещины ℓ от числа циклов нагружения n в пластинах из алюминиевых сплавов 2024-Т3 и 7075-Т6 (рис.1) шириной $W = 0,305$ м, длиной $H = 0,891$ м с центральным эллиптическим отверстием с полуосями $a = 0,8 \cdot 10^{-3}$ м, $b = \delta \cdot a$ и двумя симметрично расположенными трещинами начальной полудлины $\ell_0 = 0,8 \cdot 10^{-3}$ м при многоцикловом асимметричном одноосном растяжении-сжатии.

Решение задачи сводится к интегрированию уравнения для скорости усталостной трещины в системе (16) с учетом (17)

$$\left\{ \begin{aligned} n &= n_* + \left(\frac{\pi}{4}\right)^{q-2} \frac{\left[1 - \frac{1}{2} \left(\frac{\sigma_m}{2\sigma_B}\right)^2\right]^{2\eta}}{\left(1 + \frac{1}{q}\right) D(\sigma_Y)^{q-2}} \times \\ &\times \int_{a+\ell_0}^{a+\ell(n)} \frac{1}{\left(\tilde{\sigma}_a \cdot f\left(\frac{H}{W}, \frac{b}{a}, \frac{a+\ell}{W}\right)\right)^2 \cdot (a+\ell)} d\ell \\ n_* &= \frac{1}{(1+q)D \left[\frac{4\sigma_Y}{\pi}\right]^q} \end{aligned} \right. \quad (18)$$

Выражение корректирующей функции, используемое при решении данной задачи, построенное на основе аппроксимации численного решения, представлено в работе [5] и имеет вид

$$F\left(\frac{b}{a}, \frac{a}{W}, \frac{a+\ell(n)}{W}\right) = \varphi\left(\frac{b}{a}, \frac{a+\ell(n)}{W}\right) \psi\left(\frac{b}{a}, \frac{a}{W}, \frac{a+\ell(n)}{W}\right) \quad (19)$$

с учетом обозначений

$$\delta = b/a, \quad \alpha = 2(a + \ell(n))W, \quad \gamma = 2a/W$$

$$\varphi(\delta, \alpha) = (\pi \sqrt{(\operatorname{tg} \alpha_0 + g \sin 2\alpha_0) / \alpha_0} \cdot (1 + \varepsilon^2(2 - \varepsilon)(1 - \varepsilon) - \sqrt{1 + 2g}) / (\pi - 1)) \quad (20)$$

$$\psi(\delta, \gamma, \alpha) = h(3\beta^{2/3} - 2\sqrt{h\beta\rho}), \quad (21)$$

$$g(\delta) = 0,13[(2/\pi)\operatorname{arctg}\delta]^2 \quad (22)$$

$$\varepsilon(\delta, \alpha) = \alpha(2/\pi)\operatorname{arctg}(0,6\sqrt[3]{\delta}), \quad (23)$$

$$\rho(\delta, \gamma) = \ln\left(h^{-3/2}\right) / \ln[\gamma\delta / (\gamma(2\delta - 1) + 1)], \quad (24)$$

$$h(\delta) = 1 + (2/\pi)\operatorname{arctg}(1,5\sqrt{\delta}), \quad (25)$$

$$\alpha_0 = \pi\alpha/2, \quad \beta = (\alpha - \gamma)(1 - \gamma) \quad (26)$$

Результаты расчета зависимости длины трещины с концентратором $2d(n) = 2(a + \ell(n))$ по модели для пластин из алюминиевого сплава 2024-Т3 с эллиптическими отверстиями различного вида при $a = \text{const}$ ($\delta = 3$ (линия 1); $\delta = 1$ (линия 2); $\delta = 0,5$ (линия 3); $\delta = 0,001$ (линия 4))

при напряжении $\sigma_{\max} = 138$ МПа и отнулевом цикле нагружения ($R = 0$) представлены на (рис.2) и сопоставлены с экспериментальными данными (о).

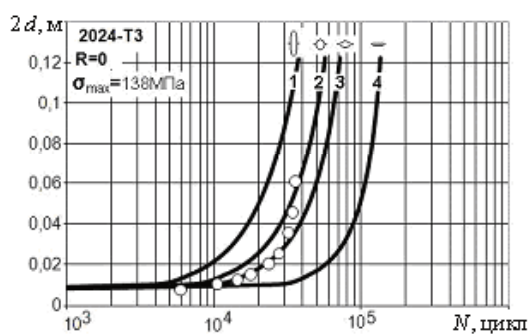


Рис. 2. Влияние формы отверстия на зависимость длины трещины от числа циклов нагружения при $a = \text{const}$ ($\delta = 3$ (линия 1), $\delta = 1$ (линия 2), $\delta = 0,5$ (линия 3), $\delta = 0,001$ (линия 4)), (—) – расчет; (o) – эксперимент для кругового отверстия

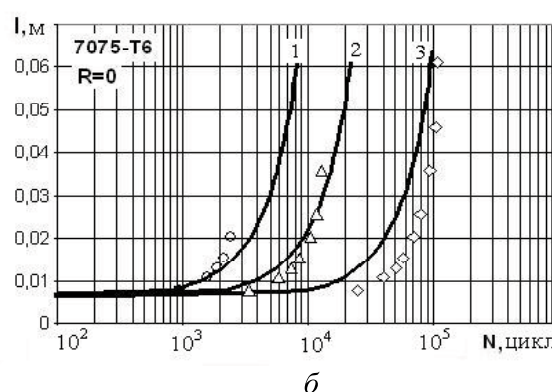
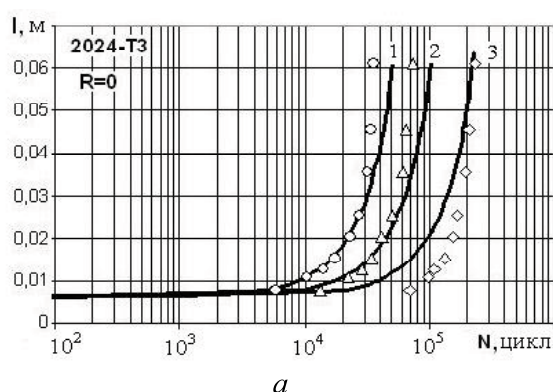


Рис. 3. Зависимость длины трещины от числа циклов нагружения в пластине с круговым отверстием ($R = 0$):
 а) – алюминиевый сплав 2024-T3 ($\sigma_{\text{max}} = 138$ МПа (1, o); $\sigma_{\text{max}} = 100$ МПа (2, Δ); $\sigma_{\text{max}} = 69$ МПа (3, ◇);
 б) – алюминиевый сплав 7075-T6. ($\sigma_{\text{max}} = 207$ МПа (1, o); $\sigma_{\text{max}} = 138$ МПа (2, Δ); $\sigma_{\text{max}} = 69$ МПа (3, ◇).

качественное, так и количественное расчетных данных с экспериментальными.

Заключение

На основе теоретической двухстадийной модели роста усталостной трещины с использованием критерия эквивалентности напряжений, сводящего асимметричное циклическое нагружение к эквивалентному по числу циклов нагружения получено численно-аналитическое решение задачи о росте усталостных трещин в тонких пластинах конечных размеров с центральным эллиптическим отверстием при одноосном асимметричном нагружении. Показано влияние формы концентратора напряжений, в зависимости от соотношений полуосей эллиптического отверстия, на кинетику роста усталостной трещины. Результаты расчетов зависимости длины трещин от числа циклов нагружения для пластины с круговым отверстием при различных уровнях приложенного нагружения удовлетворительно согласуются – как качественно, так и количественно с экспериментальными данными.

Результаты расчета зависимости длины трещины l от числа циклов нагружения для пластин с круговым отверстием ($a = b$) из алюминиевых сплавов 2024-T3 ($\sigma_{\text{max}} = 138$ МПа (линия — 1), 100 МПа (линия — 2), 69 МПа (линия — 3)) и 7075-T6 ($\sigma_{\text{max}} = 207$ МПа (линия — 1), 138 МПа (линия — 2), 69 МПа (линия — 3)) представлены на (рис. 3а), (рис. 3б) соответственно и сопоставлены с экспериментальными данными (o, Δ, ◇) [6].

Результаты расчета попадают в 90% доверительные интервалы. Таким образом, получено удовлетворительное согласование – как ка-

Литература

1. Голуб В.П. Феноменологическая модель роста усталостной трещины в идеально-пластических бесконечных пластинках при одноосном симметричном знакопеременном нагружении [Текст] /В.П. Голуб, А.В. Плащинская //Прикл. механика. – 2005. – Том 41 (51), №12. – С. 116-127.
2. Плащинская А.В. Кинетика роста усталостных трещин в тонких пластинах конечных размеров при асимметричном нагружении [Текст] /А.В.Плащинская //Вісник НТУУ КПІ Машинобудування. – 2010. – С. 189-194.
3. Newman J. C., Jr. FASTRAN-II – A fatigue crack growth structural analysis program [Text] /J.C.,Jr.Newman. – NASA-TM-104159, 1992. – 103 p.
4. Grover H.J. Axial-Load Fatigue Properties of 24S-T and 75S-T Aluminum Alloy as Determined in Several Laboratories [Text] / H.J. Grover, W.S. Hyler, P. Kuhn, C.B. Landers and F.M. Howell. – NACA TN-2928, 1953. – 64 p.

5. Саврук М.П. Коэффициенты интенсивности напряжений в телах с трещинами [Текст] /М.П.Саврук //Механика разрушения и прочность материалов. – Т. 2 //Киев: Наукова думка. – 1988. – 618 с.

6. Ilg W. The rate of fatigue-crack propagation for two aluminum alloys [Text] /W.Ilg, A.J., Jr.McEvily // NASA TN 4394, 1958. – 47 p.

Поступила в редакцию 06.06.2013

А.В. Плащинська. Розповсюдження тріщин втоми в тонких пластинах кінцевих розмірів з концентраторами напружень при одновісному асиметричному розтягу-стиску

Розглядається задача про розповсюдження тріщини втоми, що виходить з концентратора напружень, в тонкій пластині кінцевих розмірів при одновісному багаточисловому асиметричному навантаженні. В якості концентратора напружень розглядається еліптичний отвір. Чисельно-аналітичне рішення задачі отримано на основі феноменологічної двустадійної моделі розповсюдження тріщини втоми і критерію еквівалентних напружень, що зводить асиметричний цикл навантаження до еквівалентного за часом руйнування симетричного циклу. Результати розрахунку за моделлю для алюмінієвих пластин задовільно узгоджуються з експериментальними даними.

Ключові слова: тріщина втоми, асиметричний цикл навантаження, пластина кінцевих розмірів, еліптичний отвір, одновісний розтяг-стиск, пошкодження, пластична зона

A.V. Plashchynska. Fatigue crack growth in a thin finite plate with a stress concentrator under uniaxial asymmetrical tension-compression

The problem of fatigue crack growth from a stress concentrator in thin finite plates under high-cyclic uniaxial asymmetrical loading is considered. As a stress concentrator is considered an elliptical hole. The numerical analytical solution is obtained on basis of fatigue crack growth two-stage theoretical model and equivalent stresses criterion reduced asymmetrical loading to equivalent symmetrical cyclic loading on rupture time. The calculation results using model agree well with those obtained by experiment.

Key words: fatigue crack, asymmetrical loading cycle, thin finite plates, the elliptical hole, uniaxial tension-compression, damage, the plastic zone.